

СТАБИЛИЗАЦИЯ СОСТОЯНИЯ С ПРОМЕЖУТОЧНЫМ СПИНОМ ЗА СЧЕТ КОВАЛЕНТНОСТИ И ОСОБЕННОСТИ МАГНИТНОЙ ВОСПРИИМЧИВОСТИ В LaCoO_3

С. Г. Овчинников

*Институт физики им. Л. В. Киренского Сибирского отделения Российской академии наук
660036, Красноярск, Россия*

Ю. С. Орлов

*Красноярский государственный университет
660041, Красноярск, Россия*

Поступила в редакцию 3 июля 2006 г.

Методом точной диагонализации многоэлектронного гамильтониана многозонной pd -модели для CoO_6 -кластера найдены энергии термов со спинами $S = 0, 1, 2$. Показано, что перескоки Co (e_g -орбиталь)– O , формирующие ковалентную σ -связь, понижают энергию состояния с промежуточным спином $S = 1$ (IS) по сравнению с энергией состояния с низким спином $S = 0$ (LS). Построен аналог диаграммы Танабе–Сугано для CoO_6 -кластера с учетом ковалентности. Показано, что при определенных параметрах модели состояние с $S = 1$ является основным. Установлено, что повышение температуры приводит к уменьшению кристаллического поля и тем самым способствует переходу основного состояния из LS в IS при $T = 100$ К, а при $T = 550$ К смене основного IS-состояния на состояние с высоким спином $S = 2$ (HS). Магнитная восприимчивость, вычисленная с учетом LS-, IS и HS-состояний, а также того, что для HS-состояния имеется трехкратное орбитальное вырождение t_{2g} -оболочки, приводящее к эффективному орбитальному моменту $L = 1$ и важности спин-орбитального взаимодействия, хорошо согласуется с зависимостью $\chi(T)$ в LaCoO_3 .

PACS: 71.70.Ch, 74.25.Na, 75.30.Wx

1. ВВЕДЕНИЕ

Появление высококачественных монокристаллов кобальтитов RCoO_3 (где R — редкоземельный ион) и $\text{RBaCo}_2\text{O}_{5+y}$ ($0 \leq y \leq 1$) возобновило интерес к этим материалам в последнее время, ранее изучавшихся в виде поликристаллов [1, 2]. В LaCoO_3 давно известны две магнитные особенности в восприимчивости $\chi(T)$ в районе температур 100 К и 500 К [1, 3, 8]. Основное состояние LaCoO_3 является немагнитным диэлектриком с низкоспиновым (LS) $S = 0$ состоянием Co^{3+} с t_{2g}^6 -конфигурацией в кристаллическом поле CoO_6 -октаэдра. В окрестности $T = 100$ К происходит переход в парамагнитное состояние, что очевидно из резкого роста $\chi(T)$. Однако спиновое состояние Co^{3+} выше $T = 100$ К долгое время оставалось загадкой. Согласно диаграммам Танабе–Сугано, для d^6 -иона (рис. 1) с измене-

нием кристаллического поля $10Dq$ возможен кроссовер между LS- и HS-термами [4]. Эксперименты же указывают скорее на IS-состояние. Для объяснения обеих особенностей была предложена двухстадийная модель [5], согласно которой переход при $T = 100$ К связан с термическим возбуждением иона Co^{3+} из LS- в IS-состояние, а при $T = 500$ К происходит кроссовер из IS- в HS-состояние. Уменьшение объема за счет внешнего гидростатического давления [6, 7] или химического давления при замещении иона La^{3+} на другой R^{3+} меньшего ионного радиуса [8, 9] сдвигает оба спиновых кроссовера в область высоких температур и сближает их между собой, что на языке двухстадийной модели означает уменьшение стабильности IS-состояния. В рамках стандартной модели d^6 -иона в кристаллическом поле [4] энергия IS-состояния настолько больше, чем для LS- и HS-состояний, что о термическом заселе-

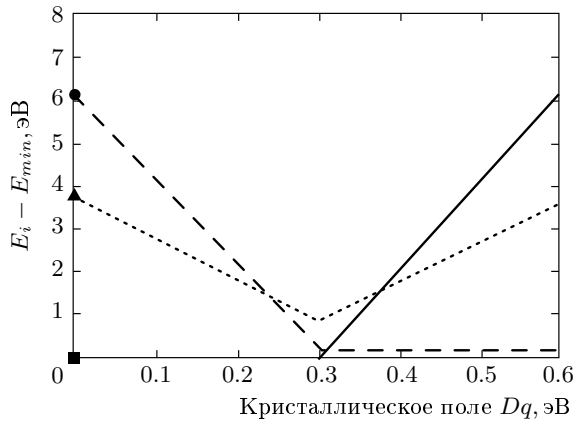


Рис. 1. Диаграмма Танабе–Сугано для иона кобальта в кубическом кристаллическом поле. Сплошная линия, маркированная квадратом, соответствует HS-состоянию, пунктирная линия с треугольником — IS, штриховая линия с кружочком — LS. Вычисления были проделаны для следующих значений параметров: $U_d = 4$ эВ, $U_d = 2.48$ эВ

нии не может быть и речи (см. ниже рис. 1). Отметим также, что выше $T = 500$ К сопротивление заметно понижается, что связывается с плавным переходом диэлектрик–металл [10].

Вопрос об устойчивости IS-состояния активно обсуждается в литературе [6, 9, 11–14]. Поскольку конфигурация IS-состояния $t_{2g}^5 e_g^1$, возникла гипотеза о возможной стабилизации IS-терма относительно LS за счет ковалентности. Действительно, $pd\sigma$ -связь e_g -электрона кобальта с p -электронами кислорода сильнее, чем $pd\pi$ -связь, характерная для t_{2g}^6 -конфигурации LS-состояния. В литературе считается, что эта гипотеза подтверждена расчетами из первых принципов с учетом корреляционных эффектов методом LDA+U [15]. Однако в расчетах LDA+U предполагается расщепление энергий электронных состояний по спину, что может быть оправдано в магнитоупорядоченных веществах. В LaCoO_3 нет дальнего магнитного порядка, поэтому доказательство стабилизации IS-состояния, основанное на LDA+U-расчетах, вряд ли можно считать состоятельным. Аналогичная проблема стабильности IS-состояния Co^{3+} -иона в CoO_5 пирамидальных комплексах недавно рассматривалась в работе [16] в рамках теории кристаллического поля с эффективными зарядами ионов, что неявно отражает эффекты ковалентности. Расчеты [16] показали возможность стабилизации IS-состояния в $\text{R}\text{BaCo}_2\text{O}_{5+y}$. Однако явный учет эффектов ковалентности с постро-

ением Co–O-орбиталей и одновременно эффектов сильных электронных корреляций, формирующих термы d^n с различными спиновыми и орбитальными моментами, до сих пор не был сделан.

Для достижения этой цели мы делаем точную диагонализацию гамильтониана многозонной pd -модели для CoO_6 -кластера. В результате найдены точные многоэлектронные молекулярные орбитали, каждая из которых нумеруется полным числом электронов Co n_d и кислорода n_p , т. е. $n_d + n_p$, а также величиной спина и орбитального момента. Пренебрегая ковалентностью, мы говорим о конфигурации $d^6 p^6$ с разными значениями $S = 0, 1, 2$. Ковалентность приводит к смешиванию конфигураций $d^6 p^6 + d^7 p^5$ и т. д., из которых и строятся многоэлектронные молекулярные орбитали. Каждая такая орбиталь характеризуется определенным спином S . Сравнение энергий LS-, IS- и HS-состояний многоэлектронных молекулярных орбиталей позволило обнаружить каскад кроссоверов LS→IS и IS→HS и найти область параметров исходного гамильтониана, для которой IS-состояние является основным.

Во второй части работы мы вычисляем магнитную восприимчивость $\chi(T)$ в модели, предполагающей близость по энергии трех термов: LS, IS и HS с основным LS-состоянием, что соответствует LaCoO_3 . Вычисленная температурная зависимость $\chi(T)$ хорошо согласуется с экспериментальными данными.

2. ТОЧНАЯ ДИАГОНАЛИЗАЦИЯ CoO_6 -КЛАСТЕРА

LaCoO_3 — диэлектрик с ромбоэдрически искаженной перовскитной структурой. В приведенных ниже расчетах CoO_6 -кластер рассматривается как неискаженный октаэдр, однако уже такое приближение позволяет правильно понять физику явления. Малые одноосные вклады в кристаллическое поле могут лишь сдвинуть в меру своей малости границы устойчивости LS-состояния.

Волновые функции и знаки интегралов перескока для CoO_6 -кластера показаны на рис. 2 и 3.

Запишем гамильтониан $2p$ -электронов кислорода и $3d$ -электронов кобальта, используя одновременно дырочное представление для кислорода и электронное для кобальта:

$$H_{tot} = H^{(d)} + H^{(p)} + H^{(pd)} + H^{(pp)}, \quad (1)$$

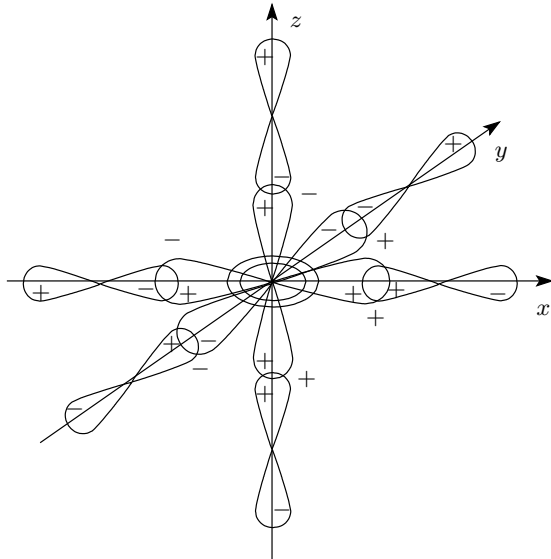


Рис. 2. Атомные орбитали кобальт-кислородного кластера, участвующие в $pd\sigma$ -связи

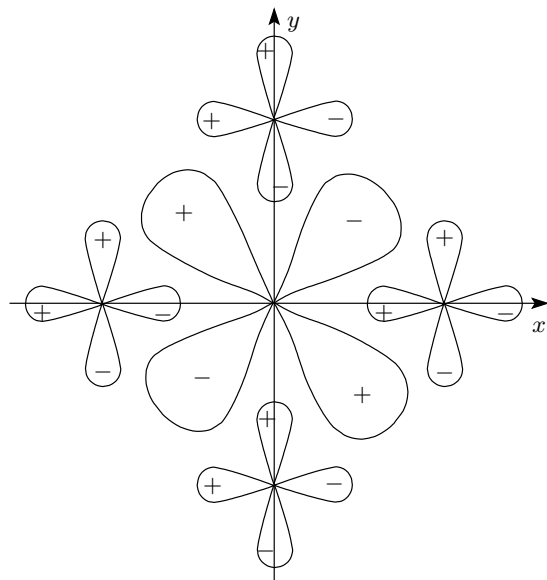


Рис. 3. Атомные орбитали кобальт-кислородного кластера, показанные для плоскости xy (для плоскостей yz и zx картина имеет аналогичный вид), участвующие в $pd\pi$ -связи

где

$$H^{(d)} = \sum_{\lambda\sigma} \left[(\varepsilon_{d\lambda} - \mu) d_{\lambda\sigma}^+ d_{\lambda\sigma} + \frac{1}{2} U_d n_{\lambda}^{\sigma} n_{\lambda}^{-\sigma} \right] + \sum_{\substack{\sigma, \sigma' \\ \lambda > \lambda'}} \left(V_d - \frac{J_d}{2} \right) n_{\lambda}^{\sigma} n_{\lambda'}^{\sigma'} - 2J_d \sum_{\lambda > \lambda'} \mathbf{S}_{\lambda} \mathbf{S}_{\lambda'},$$

$$H^{(p)} = \sum_i \sum_{\alpha\sigma} \left[-(\varepsilon_{p\alpha} - \mu) p_{i\alpha\sigma}^+ p_{i\alpha\sigma} + \frac{1}{2} U_p n_{i\alpha}^{\sigma} n_{i\alpha}^{-\sigma} \right] + \sum_{\substack{\sigma, \sigma' \\ \alpha > \alpha'}} \left(V_p - \frac{J_p}{2} \right) n_{i\alpha}^{\sigma} n_{i\alpha'}^{\sigma'} - 2J_p \sum_{\alpha > \alpha'} \mathbf{S}_{i\alpha} \mathbf{S}_{i\alpha'},$$

$$H^{(pd)} = \sum_i \sum_{\alpha\lambda\sigma\sigma'} \left(t_{\lambda\alpha} (d_{\lambda\sigma}^+ p_{i\alpha\sigma}^+ + \text{H.c.}) - V_{\lambda\alpha} n_{\lambda}^{\sigma} n_{i\alpha}^{\sigma'} \right),$$

$$H^{(pp)} = \sum_{i,j} \sum_{\alpha\beta\sigma} \left(-t_{\alpha\beta} p_{i\alpha\sigma}^+ p_{j\beta\sigma} + \text{H.c.} \right).$$

Для дальнейшего удобства и наглядности можно переписать приведенный гамильтониан, используя кислородные молекулярные орбитали, являющиеся линейной комбинацией волновых функций атомов кислорода:

$$b_z = \frac{1}{\sqrt{2}} \left(-p_z \left(z + \frac{1}{2} \right) + p_z \left(z - \frac{1}{2} \right) \right),$$

$$b = \frac{1}{2} \left(-p_x \left(x - \frac{1}{2} \right) + p_y \left(y + \frac{1}{2} \right) + p_x \left(x + \frac{1}{2} \right) - p_y \left(y - \frac{1}{2} \right) \right),$$

$$a = \frac{1}{2} \left(p_x \left(x - \frac{1}{2} \right) + p_y \left(y + \frac{1}{2} \right) - p_x \left(x + \frac{1}{2} \right) - p_y \left(y - \frac{1}{2} \right) \right),$$

а также b_{μ} , где $\mu = xy, yz, zx$:

$$b_{xy} = \frac{1}{2} \left(p_y \left(x - \frac{1}{2} \right) + p_x \left(y + \frac{1}{2} \right) - p_y \left(x + \frac{1}{2} \right) - p_x \left(y - \frac{1}{2} \right) \right),$$

b_{yz} и b_{zx} получаются из b_{xy} с помощью циклической перестановки индексов xyz и a_{μ} , где $\mu = xy, yz, zx$:

$$a_{xy} = \frac{1}{2} \left(p_y \left(x - \frac{1}{2} \right) - p_x \left(y + \frac{1}{2} \right) - p_y \left(x + \frac{1}{2} \right) + p_x \left(y - \frac{1}{2} \right) \right).$$

Аналогично, a_{yz} и a_{zx} получаются из a_{xy} с помощью циклической перестановки индексов xyz , но при этом любая последующая перестановка в a_{μ} должна сопровождаться сменой знака на противоположный при каждом из слагаемых, входящих в линейную комбинацию.

В этом базисе гамильтониан (1) примет следующий вид:

$$H_{tot} = H^{(d)} + H^{(p)} + H_{Coulomb}^{(pd)} + H_{hop}^{(pd)} + H_{hop}^{(pp)}, \quad (2)$$

$$H^{(d)} = \sum_{\lambda, \sigma} \left(\varepsilon_{d\lambda} d_{\lambda, \sigma}^{\dagger} d_{\lambda, \sigma} + \frac{1}{2} U_d n_{\lambda\sigma} n_{\lambda\bar{\sigma}} \right) + \sum_{\substack{\sigma, \sigma' \\ \lambda > \lambda'}} \left(V_d - \frac{J_d}{2} \right) n_{\lambda}^{\sigma} n_{\lambda'}^{\sigma'} - 2J_d \sum_{\lambda > \lambda'} \mathbf{S}_{\lambda} \mathbf{S}_{\lambda'},$$

$$H^{(p)} = \sum_{\mu, \sigma} -\varepsilon_{b\mu} b_{\mu, \sigma}^{\dagger} b_{\mu, \sigma} + \sum_{\sigma} -\varepsilon_b b_{\sigma}^{\dagger} b_{\sigma} + \sum_{\sigma} -\varepsilon_a a_{\sigma}^{\dagger} a_{\sigma} + \sum_{\sigma} -\varepsilon_{bz} b_{z, \sigma}^{\dagger} b_{z, \sigma} + \sum_{\xi, \sigma} \left(\frac{1}{2} U_p n_{\xi\sigma} n_{\xi\bar{\sigma}} \right) + \sum_{\substack{\sigma, \sigma' \\ \xi > \xi'}} \left(V_p - \frac{J_p}{2} \right) n_{\xi}^{\sigma} n_{\xi'}^{\sigma'} - 2J_p \sum_{\xi > \xi'} \mathbf{S}_{\xi} \mathbf{S}_{\xi'},$$

$$H_{Coulomb}^{(pd)} = \sum_{\substack{\sigma, \sigma' \\ \lambda, \xi}} (-V_{pd}) n_{\lambda}^{\sigma} n_{\xi}^{\sigma'},$$

$$H_{hop}^{(pd)} = \sum_{\mu} H_{\mu}^{(pd)} + H_{d_x}^{(pd)} + H_{d_z}^{(pd)},$$

$$H_{\mu}^{(pd)} = 2 \sum_{\sigma} t_{pd}^{\pi} (d_{\mu, \sigma}^{\dagger} b_{\mu, \bar{\sigma}}^{\dagger} + \text{H.c.}),$$

$$H_{d_x}^{(pd)} = 2 \sum_{\sigma} t_{pd}^{\sigma} (d_{x, \sigma}^{\dagger} b_{\bar{\sigma}}^{\dagger} + \text{H.c.}),$$

$$H_{d_z}^{(pd)} = 2 \sum_{\sigma} \frac{t_{pd}^{\sigma}}{\sqrt{3}} (d_{z, \sigma}^{\dagger} a_{\bar{\sigma}}^{\dagger} + \text{H.c.}) + \sqrt{2} \sum_{\sigma} t_{pd}'^{\sigma} (d_{z, \sigma}^{\dagger} b_{z, \bar{\sigma}}^{\dagger} + \text{H.c.}),$$

$$H_{hop}^{(pp)} = \sum_{\mu} H_{\mu}^{(pp)} + H_{xyz}^{(pp)},$$

$$H_{\mu}^{(pp)} = -2 \sum_{\sigma} t_{pp}^{\pi} b_{\mu, \sigma}^{\dagger} b_{\mu, \sigma} + 2 \sum_{\sigma} t_{pp}^{\pi} a_{\mu, \sigma}^{\dagger} a_{\mu, \sigma} - \frac{1}{3} \left\{ 2 \sum_{\sigma} t_{pp}^{\pi} a_{\sigma}^{\dagger} a_{\sigma} - 2 \sum_{\sigma} t_{pp}^{\pi} b_{\sigma}^{\dagger} b_{\sigma} \right\},$$

$$H_{xyz}^{(pp)} = 2\sqrt{2} \sum_{\sigma} t_{pp}^{\pi} (a_{\sigma}^{\dagger} b_{z, \sigma} + \text{H.c.}).$$

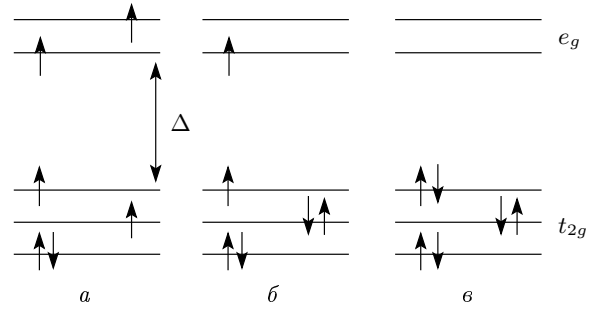


Рис. 4. Состояния с высоким спином (а), промежуточным спином (б) и низким спином (в)

Здесь первые два слагаемых описывают энергию d -электронов кобальта и p -дырок кислорода с учетом кулоновских взаимодействий: хаббардовского отталкивания U_d (U_p), межорбитального внутриатомного и внутримолекулярного кулоновского отталкивания V_d (V_p) и хундовского обменного взаимодействия J_d (J_p). Индексы λ и ξ соответствуют различным атомным орбиталю кобальта и кислородным молекулярным орбиталю $\lambda = (t, e)$, $t = xy, yz, zx$; $e = x^2 - y^2, 3z^2 - r^2$; $\xi = b, a, b_z, b_{\mu}, a_{\mu}$. Третье и четвертое слагаемые описывают pd -перескоки и кулоновское взаимодействие V_{pd} между дырками и электронами. Последнее слагаемое соответствует pp -перескокам.

В электронейтральном $\text{La}^{3+}\text{Co}^{3+}\text{O}_3^{2-}$ ион кобальта может находиться в трех различных спиновых состояниях (рис. 4), в HS ($t_{2g}^4 e_g^2, S = 2$), IS ($t_{2g}^5 e_g^1, S = 1$) и LS ($t_{2g}^6 e_g^0, S = 0$). Формирование того или иного состояния зависит от баланса между энергией расщепления в кристаллическом поле, Δ , и энергией внутриатомного обменного взаимодействия J . Начальной ионной конфигурацией является $d^6 p_N^6$ (6 электронов на кобальте и по 6 электронов на каждом из $N = 6$ атомов кислорода), но за счет перекрытия волновых функций $d_{x^2-y^2} \equiv d_x, d_{3z^2-r^2} \equiv d_z, d_{xy}, d_{zy}, d_{xz}$ с кислородными молекулярными орбиталю и наличия свободных мест, не запрещенных принципом Паули, возможны перескоки электронов с образованием дырок на молекулярных орбиталю и рождением электронов на узле кобальта. Тем самым становится возможным появление помимо исходной $d^6 p_6^6$, еще и $d^7 p^5 p_5^6, d^8 p_2^5 p_4^6, d^8 p^4 p_5^6$ и т. д. электронных конфигураций. Каждое из трех спиновых состояний имеет свой собственный набор базисных векторов, являющихся различными комбинациями размещений дырок и электронов по взаимнооднозначным состояниям. Их

можно выписать в явном виде, используя представление чисел заполнения.

Так, в случае HS-состояния для $d^6 p_6^6$ -конфигурации будем иметь следующую совокупность:

$$e_{1\sigma}^+ e_{2\sigma}^+ t_{1\sigma}^+ t_{2\sigma}^+ t_{3\sigma}^+ t_{j\bar{\sigma}}^+ |vac\rangle, \quad j = 1, 2, 3,$$

где $|vac\rangle = |d^0 p^6 L_a^{3+}\rangle$. Для $d^7 p^5 p_5^6$ -конфигурации в случае $j = 1$ имеем несколько вариантов размещения дополнительного d -электрона и кислородной дырки:

- 1) $e_{1\uparrow}^+ e_{2\uparrow}^+ t_{1\uparrow}^+ t_{2\uparrow}^+ t_{3\uparrow}^+ t_{1\downarrow}^+ b_{yz\uparrow}^+ |vac\rangle = |HS, d^7 p^5 p_5^6(1)\rangle$,
- 2) $-e_{1\uparrow}^+ e_{2\uparrow}^+ t_{1\uparrow}^+ t_{2\uparrow}^+ t_{3\uparrow}^+ t_{3\downarrow}^+ t_{1\downarrow}^+ b_{zx\uparrow}^+ |vac\rangle = |HS, d^7 p^5 p_5^6(2)\rangle$,
- 3) $-e_{1\uparrow}^+ e_{1\downarrow}^+ e_{2\uparrow}^+ t_{1\uparrow}^+ t_{2\uparrow}^+ t_{3\uparrow}^+ t_{1\downarrow}^+ b_{\uparrow}^+ |vac\rangle = |HS, d^7 p^5 p_5^6(3)\rangle$,
- 4) $e_{1\uparrow}^+ e_{2\uparrow}^+ e_{2\downarrow}^+ t_{1\uparrow}^+ t_{2\uparrow}^+ t_{3\uparrow}^+ t_{1\downarrow}^+ a_{\uparrow}^+ |vac\rangle = |HS, d^7 p^5 p_5^6(4)\rangle$,
- 5) $e_{1\uparrow}^+ e_{2\uparrow}^+ e_{2\downarrow}^+ t_{1\uparrow}^+ t_{2\uparrow}^+ t_{3\uparrow}^+ t_{1\downarrow}^+ b_{z\uparrow}^+ |vac\rangle = |HS, d^7 p^5 p_5^6(5)\rangle$.

В случае LS-состояния для $d^6 p_6^6$ -конфигурации имеется основное состояние (рис. 4б):

$$|0\rangle = t_{1\uparrow}^+ t_{1\downarrow}^+ t_{2\uparrow}^+ t_{2\downarrow}^+ t_{3\uparrow}^+ t_{3\downarrow}^+ |vac\rangle,$$

а для конфигурации $d^7 p^5 p_5^6$ находим

- 1) $e_{1\uparrow}^+ b_{\uparrow}^+ |0\rangle = |LS, d^7 p^5 p_5^6(1)\rangle$,
- 2) $e_{1\downarrow}^+ b_{\uparrow}^+ |0\rangle = |LS, d^7 p^5 p_5^6(2)\rangle$,
- 3) $e_{2\uparrow}^+ a_{\downarrow}^+ |0\rangle = |LS, d^7 p^5 p_5^6(3)\rangle$,
- 4) $e_{2\downarrow}^+ a_{\uparrow}^+ |0\rangle = |LS, d^7 p^5 p_5^6(4)\rangle$,
- 5) $e_{2\uparrow}^+ b_{z\downarrow}^+ |0\rangle = |LS, d^7 p^5 p_5^6(5)\rangle$,
- 7) $e_{2\downarrow}^+ b_{z\uparrow}^+ |0\rangle = |LS, d^7 p^5 p_5^6(6)\rangle$.

Для IS-состояния $d^6 p_6^6$ имеется шесть термов (рис. 4б)

$$e_{i\sigma}^+ t_{j\bar{\sigma}}^+ |0\rangle, \quad i = 1, 2, \quad j = 1, 2, 3.$$

Для IS-состояния $d^7 p^5 p_5^6$ генерируются термы

- 1) $-e_{2\uparrow}^+ b_{xy\uparrow}^+ |0\rangle = |IS, d^7 p^5 p_5^6(1)\rangle$,
- 2) $e_{1\uparrow}^+ e_{2\uparrow}^+ t_{1\downarrow}^+ b_{\uparrow}^+ |0\rangle = |IS, d^7 p^5 p_5^6(2)\rangle$,
- 3) $e_{1\downarrow}^+ e_{2\uparrow}^+ t_{1\downarrow}^+ b_{\uparrow}^+ |0\rangle = |IS, d^7 p^5 p_5^6(3)\rangle$, для $i = 2, j = 1$,
- 4) $-e_{2\uparrow}^+ e_{2\downarrow}^+ t_{1\downarrow}^+ a_{\uparrow}^+ |0\rangle = |IS, d^7 p^5 p_5^6(4)\rangle$,
- 5) $-e_{2\uparrow}^+ e_{2\downarrow}^+ t_{1\downarrow}^+ b_{z\uparrow}^+ |0\rangle = |IS, d^7 p^5 p_5^6(5)\rangle$

либо

$$\left\{ \begin{array}{l} -e_{1\uparrow}^+ b_{xy\uparrow}^+ |0\rangle, \\ e_{1\downarrow}^+ e_{1\uparrow}^+ t_{1\downarrow}^+ b_{\uparrow}^+ |0\rangle, \\ -e_{1\uparrow}^+ e_{2\uparrow}^+ t_{1\downarrow}^+ a_{\downarrow}^+ |0\rangle, \text{ для } i = 1, \quad j = 1. \\ -e_{1\uparrow}^+ e_{2\downarrow}^+ t_{1\downarrow}^+ a_{\uparrow}^+ |0\rangle, \\ -e_{1\uparrow}^+ e_{2\uparrow}^+ t_{1\downarrow}^+ b_{z\downarrow}^+ |0\rangle, \\ -e_{1\uparrow}^+ e_{2\downarrow}^+ t_{1\downarrow}^+ b_{z\uparrow}^+ |0\rangle. \end{array} \right.$$

Вообще говоря, следующий pd -перескок может превратить конфигурацию $d^7 p^5 p_5^6$ в $d^8 p_2^5 p_4^6$, затем в $d^9 p_3^5 p_3^6$, однако вероятность таких конфигураций крайне мала и ими можно пренебречь.

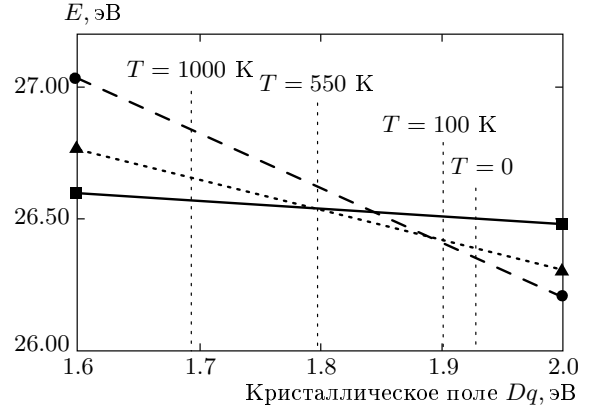


Рис. 5. Аналог диаграммы Танабе–Сугано для многоэлектронных молекулярных орбиталей CoO_6 -кластера. Обозначения линий те же самые, что на рис. 1. Вычисления были проведены для следующих значений параметров: $\beta = 0.4$, $t_{pp}^{\pi} = 0.2$ эВ, $t_{pd}^{\sigma} = 1.85$ эВ, $\varepsilon_p = 1.5$ эВ, $U_d = 4$ эВ, $V_d = 2.48$ эВ, $V_{pd} = 1.8$ эВ

Диагонализация трех матриц гамильтониана (2), полученных для каждого из состояний HS, IS и LS и выписанных каждая в своем базисе (в Приложении приведен блок матрицы для HS-состояния, матрицы для IS- и LS-состояний выписываются аналогичным образом), приведенных выше, позволяет построить аналог диаграммы Танабе–Сугано с учетом ковалентности (рис. 5.) для CoO_6 -кластера. На рис. 5 показаны наименьшие собственные значения, поскольку именно они представляют наибольший интерес в физике низких энергий.

Как оказалось, в определенной области параметров $U_d, V_d, J_d, V_{pd}, \Delta, t_{pp}^{\pi}, t_{pd}^{\sigma}, \varepsilon_p, \beta$, где $\beta = t_{pd}^{\sigma}/t_{pd}^{\sigma}$, промежуточнospиновое состояние может быть стабилизировано за счет гибридизации между e_g -уровнем Co и $2p$ -уровнем O.

3. ЗАВИСИМОСТЬ КРИСТАЛЛИЧЕСКОГО ПОЛЯ ОТ ТЕМПЕРАТУРЫ И ДАВЛЕНИЯ

Известно, что $LaCoO_3$ проявляет аномально большую сжимаемость длины L Co–O-связи, $\beta_L = -L^{-1}(\partial L/\partial P)_T = 4.8 \cdot 10^{-3}$ ГПа $^{-1}$ [17]. Это рекордно большое значение для сжимаемости В–O-связи во всех перовскитах ABO_3 . По-видимому, такая большая сжимаемость приводит к достаточно сильной температурной зависимости длин связи. Так, при $T = 300$ К $L = 1.9345$ Å, а при $T = 5$ К $L = 1.9254$ Å [18]. Легко оценить, что понижение

температуры от 300 К до 5 К эквивалентно приложению давления $\delta P = \delta L/L\beta_L \approx 1$ ГПа. Отсюда следует, что и кристаллическое поле $\Delta = 10Dq$ также будет заметно уменьшаться с ростом температуры, ибо с ростом давления величина Δ растет. Чтобы оценить эту зависимость, воспользуемся результатами расчетов из первых принципов [19] величины Δ для LaCoO_3 ($\Delta = 1.93$ эВ) и для HoCoO_3 ($\Delta = 2.04$ эВ). Рост Δ при замещении иона La^{3+} на меньший ион Ho^{3+} обусловлен эффектом химического сжатия. Далее, для HoCoO_3 при $T = 300$ К длина Co–O-связи $L = 1.921$ Å [19]. Таким образом, можно записать

$$\Delta(T) = \Delta(0) + \frac{\partial\Delta}{\partial L} \frac{\partial L}{\partial T} T,$$

величину $\partial\Delta/\partial L$ оценить из химического сжатия при замене La на Ho, что дает $\partial\Delta/\partial L \approx -8$ эВ/Å. Окончательно находим, что для LaCoO_3 $\Delta(T) \approx \Delta(0) - 0.24 \cdot 10^{-3}T$. На рис. 5 отмечены значения кристаллического поля для температур, представляющих наибольший интерес в поведении магнитной восприимчивости. Уменьшение кристаллического поля с ростом температуры способствует заселению промежуточнospинового и высокоспинового термов с основного низкоспинового терма (рис. 5).

Можно также оценить зависимость кристаллического поля от давления:

$$\Delta(P) = \Delta(0) + \alpha_\Delta P, \quad \alpha_\Delta = \frac{\partial\Delta}{\partial L} \frac{\partial L}{\partial P} = -\beta_L \frac{\partial\Delta}{\partial L} L.$$

Используя приведенные выше оценки сжимаемости Co–O-связи и производной $\partial\Delta/\partial L$, находим $\alpha_\Delta = 0.0726$ эВ/ГПа. Отметим, что это значение более чем в три раза превышает подобный параметр для FeVO_3 , где $\alpha_\Delta = 0.020$ эВ/ГПа [20].

4. ВОСПРИИМЧИВОСТЬ

Аналитическое выражение восприимчивости можно получить из рассмотрения трехуровневой системы в магнитном поле, при этом необходимо учесть, что для высокоспинового состояния имеется трехкратное орбитальное вырождение t_{2g} -оболочки, приводящее к эффективному орбитальному моменту $L = 1$ и важности спин-орбитального взаимодействия. Сосредоточим наше внимание на некотором узле решетки и введем следующие обозначения:

$$E_{LS} = E_0,$$

$$E_{IS} = E_1 - g_{IS}\mu\mathbf{B} \cdot \mathbf{S} = E_1 - g_{IS}\mu m_S B,$$

$$m_S = S, S-1, \dots, -S, \quad S = 1,$$

$$E_{HS} = E_2 - g_{HS}\mu\mathbf{B} \cdot \tilde{\mathbf{J}} = E_2 - g_{HS}\mu m_J B,$$

$$m_J = \tilde{J}, \tilde{J}-1, \dots, -\tilde{J}, \quad \tilde{J} = 1.$$

Здесь E_i ($i = 0, 1, 2$) — энергии термов в отсутствие магнитного поля, μ — магнетон Бора, $g_{IS} = 2$ и $g_{HS} = 2.5$ — факторы Ланде соответственно для IS- и HS-состояний, \tilde{J} — полный эффективный момент для HS-состояния, равный единице из-за спин-орбитального взаимодействия и заполненности $3d$ -подоболочки атома кобальта больше чем на половину [21], \mathbf{B} — внешнее магнитное поле.

В силу диэлектрических свойств LaCoO_3 межкластерные перескоки не играют роли, и система может рассматриваться как совокупность невзаимодействующих в первом приближении элементарных ячеек, каждая из которых содержит один CoO_6 -кластер. Тогда статистическая сумма примет вид

$$\begin{aligned} Z = & \exp\left(-\frac{E_{LS}}{kT}\right) + \sum_{m_S=-1}^1 \exp\left(-\frac{E_{IS}}{kT}\right) + \\ & + \sum_{m_J=-1}^1 \exp\left(-\frac{E_{HS}}{kT}\right) = \exp\left(-\frac{E_0}{kT}\right) \times \\ & \times \left\{ 1 + \exp\left(-\frac{\Delta_1}{kT}\right) \sum_{m_S=-1}^1 \exp\left(\frac{g_{IS}\mu m_S B}{kT}\right) + \right. \\ & \left. + \exp\left(-\frac{\Delta_2}{kT}\right) \sum_{m_J=-1}^1 \exp\left(\frac{g_{HS}\mu m_J B}{kT}\right) \right\}, \end{aligned}$$

где $\Delta_1 = E_1 - E_0$, $\Delta_2 = E_2 - E_0$, k — постоянная Больцмана. В силу того, что кристаллическое поле Δ является функцией температуры, величины Δ_1 и Δ_2 также будут зависеть от температуры:

$$\begin{aligned} \Delta_1(T) = & \Delta_1(0) - (K_1 - K_0) \frac{\partial\Delta}{\partial L} \frac{\partial L}{\partial T} T = \\ = & \Delta_1(0) - (K_1 - K_0) \cdot 0.24 \cdot 10^{-3} T, \end{aligned}$$

$$\begin{aligned} \Delta_2(T) = & \Delta_2(0) - (K_2 - K_0) \frac{\partial\Delta}{\partial L} \frac{\partial L}{\partial T} T = \\ = & \Delta_2(0) - (K_2 - K_0) \cdot 0.24 \cdot 10^{-3} T, \end{aligned}$$

где K_0, K_1, K_2 — тангенсы углов наклона термов $E_0 = E_0(\Delta)$, $E_1 = E_1(\Delta)$, $E_2 = E_2(\Delta)$ к оси кристаллического поля (см. рис. 5). Окончательно получаем

$$\Delta_1(T) \approx \Delta_1(0) - 0.24 \cdot 10^{-3} T,$$

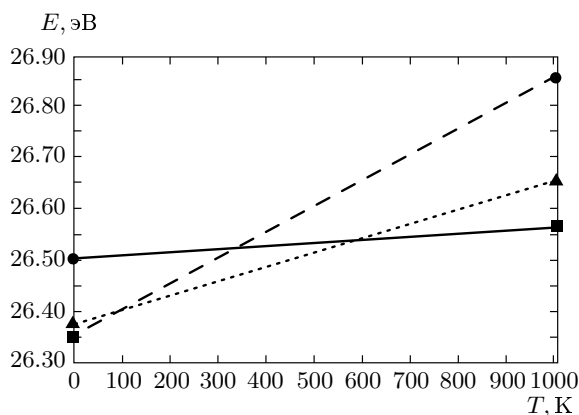


Рис. 6. Зависимость энергий термов от температуры. Обозначения линий те же самые, что на рис. 1

$$\Delta_2(T) \approx \Delta_2(0) - 0.43 \cdot 10^{-3}T.$$

Из работ [5, 6, 22–24] известно, что $\Delta_1(T)$ для $T \approx 8$ К может принимать значения от 0.012 эВ до 0.025 эВ. Поэтому в нашей работе $\Delta_1(0)$ берется равным 0.025 эВ, что находится в достаточном согласии с расчетами точной диагонализации, приведенными выше (см. рис. 5 или 6), $\Delta_2(0) = 0.15$ эВ является параметром, определяемым из тех же расчетов.

Зная статистическую сумму, стандартным образом находим свободную энергию $F = -kT \ln Z$ и намагниченность $M = -\Delta F/\Delta B$.

Для не слишком низких температур и не слишком сильных магнитных полей, при $g_{HS(LS)}\mu B \ll \ll kT$ получается следующее выражение для восприимчивости одного моля вещества, содержащего N_A элементарных ячеек:

$$\chi = \frac{\Delta M}{\Delta B} = N_A \cdot \frac{2\mu^2}{kT} \frac{g_{IS}^2 \exp\left(-\frac{\Delta_1}{kT}\right) + g_{HS}^2 \exp\left(-\frac{\Delta_2}{kT}\right)}{1 + 3 \exp\left(-\frac{\Delta_1}{kT}\right) + 3 \exp\left(-\frac{\Delta_2}{kT}\right)}.$$

Его вид приведен на рис. 7, для сравнения с экспериментом приведем известное поведение магнитной восприимчивости, взятое из работы [8]. Схожесть и соответствие в поведении очевидны. Во избежание недоразумений, отметим, что $\chi(T)$ не обращается в нуль при некоторой «критической» температуре, как может показаться при рассмотрении рис. 7 (это связано с выбором масштаба). Восприимчивость в области низких температур конечна, хотя и экспоненциально мала. Присутствующие в образце пара-

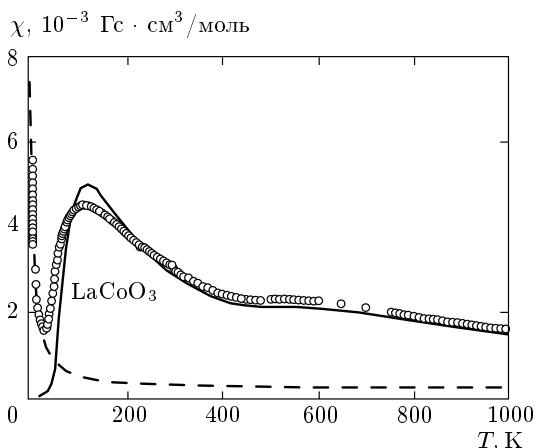


Рис. 7. Восприимчивость LaCoO_3 . $\Delta_1(0) = 0.025$ эВ, $\Delta_2(0) = 0.15$ эВ. Сплошная линия — наш расчет, экспериментальные точки помечены кружками, штриховая линия — экстраполяция вклада парамагнитных примесей (из работы [8])

магнитные примеси дали вклад, пропорциональный T^{-1} , выделенный авторами [8] и показанный штрихом.

Стабилизация IS-состояния и уменьшение кристаллического поля с ростом температуры позволяют описать поведение магнитной восприимчивости LaCoO_3 . При $T \approx 0$ К ($\Delta = 1.93$ эВ) ионы Co^{3+} находятся в основном низкоспиновом состоянии. Увеличение температуры способствует заселению вышележащих IS-состояний ($\Delta_1(0) = 0.025$ эВ) и HS-состояний ($\Delta_2(0) = 0.15$ эВ), а при $T \approx 100$ К приводит к сдвигу кристаллического поля в область меньших значений ($\Delta = 1.9$ эВ), тем самым способствует переходу основного состояния из LS- в IS-состояние (см. рис. 6). Дальнейшее увеличение температуры до $\Delta \approx 550$ К приводит к еще большему уменьшению кристаллического поля ($\Delta = 1.8$ эВ) и возникновению высокоспинового состояния в качестве основного. Из сказанного выше становятся ясными особенности в поведении магнитной восприимчивости в районе температур 100 К и 500 К. Металлизация LaCoO_3 выше 600 К в настоящей работе не обсуждается, это требует дальнейших расчетов.

5. ЗАКЛЮЧЕНИЕ

Методом точной диагонализации многоэлектронного гамильтониана многозонной pd -модели для CoO_6 -кластера найдены состояния и энергии

термов со спинами $S = 0, 1, 2$. Выявлены основные причины столь странного поведения восприимчивости: уменьшение кристаллического поля с ростом температуры, трехкратное орбитальное вырождение t_{2g} -оболочки, приводящее к эффективному орбитальному моменту $L = 1$ и важности спин-орбитального взаимодействия и, наконец, показано, что перескоки Co (e_g -орбиталь)–O, формирующие ковалентную σ -связь, понижают энергию промежуточнospинового состояния $S = 1$ по сравнению с низкоспиновым $S = 0$. Найдена область параметров, где состояние $S = 1$ является основным. Магнитная восприимчивость, вычисленная с учетом низкоспинового, промежуточнospинового и высокоспинового состояний, хорошо согласуется с зависимостью $\chi(T)$ в LaCoO₃. Максимум $\chi(T)$ в

районе $T = 100$ К связан с термическим заселением IS-состояния и его стабилизацией с ростом T , а плато в окрестности 550–600 К обусловлено вкладом HS-состояния.

Работа выполнена в рамках программы ОФН «Сильные электронные корреляции», междисциплинарного интеграционного проекта СОРАН–УРОРАН № 74 и при поддержке Красноярского краевого фонда науки.

ПРИЛОЖЕНИЕ

Блок матрицы гамильтониана (2), выписанный для HS-состояния

	$d^6 p^6, j = 1$	$d^7 p^5 p_5^6(1)$	$d^7 p^5 p_5^6(2)$	$d^7 p^5 p_5^6(3)$	$d^7 p^5 p_5^6(4)$	$d^7 p^5 p_5^6(5)$
$d^6 p^6, j = 1$	$6\varepsilon_d - 4dq + U_d + 14V_d - 10J_d$	$2t_{pd}^\pi$	$2t_{pd}^\pi$	$2t_{pd}^\sigma$	$2\frac{t_{pd}^\sigma}{\sqrt{3}}$	$\sqrt{2}t_{pd}^\sigma$
$d^7 p^5 p_5^6(1)$	$2t_{pd}^\pi$	$7\varepsilon_d - 8dq + 2U_d + 19V_d - 11J_d - 7V_{pd} - 2t_{pp} - \varepsilon_p$	–	–	–	–
$d^7 p^5 p_5^6(2)$	$2t_{pd}^\pi$	–	$7\varepsilon_d - 8dq + 2U_d + 19V_d - 11J_d - 7V_{pd} - 2t_{pp} - \varepsilon_p$	–	–	–
$d^7 p^5 p_5^6(3)$	$2t_{pd}^\sigma$	–	–	$7\varepsilon_d + 2dq + 2U_d + 19V_d - 11J_d - 7V_{pd} + 2t_{pp} - \varepsilon_p$	–	–
$d^7 p^5 p_5^6(4)$	$2\frac{t_{pd}^\sigma}{\sqrt{3}}$	–	–	–	$7\varepsilon_d + 2dq + 2U_d + 19V_d - 11J_d - 7V_{pd} - 2t_{pp} - \varepsilon_p$	$2\sqrt{2}t_{pp}^\pi$
$d^7 p^5 p_5^6(5)$	$\sqrt{2}t_{pd}^\sigma$	–	–	–	$2\sqrt{2} \cdot t_{pp}^\pi$	$7\varepsilon_d + 2dq + 2U_d + 19V_d - 11J_d - 7V_{pd} - \varepsilon_p$

ЛИТЕРАТУРА

1. P. M. Raccah and J. B. Goodenough, Phys. Rev. **155**, 932 (1967).
2. G. Thornton, F. C. Morrison, S. Partington et al., J. Phys. C: Sol. St. Phys. **21**, 2871 (1988).
3. R. R. Heikes, R. C. Miller, and R. Mazelsky, Physica **30**, 1600 (1964).
4. Y. Tanabe and S. Sugano, J. Phys. Soc. Jpn. **9**, 766 (1954).
5. K. Asai, A. Yoneda, O. Yokokura et al., J. Phys. Soc. Jpn. **67**, 290 (1998).

6. K. Asai, O. Yokokura, M. Suzuki et al., J. Phys. Soc. Jpn. **66**, 967 (1997).
7. T. Vogt, J. A. Hriljac, N. C. Hyatt et al., Phys. Rev. B **67**, 140401 (2003).
8. J. Baier, S. Jodlank, M. Kreiner et al., Phys. Rev. B **71**, 014443 (2005).
9. I. A. Nekrasov, S. V. Streltsov, M. A. Korotin, and V. I. Anisimov, Phys. Rev. B **68**, 235113 (2003).
10. Y. Tokura, Y. Okimoto, S. Yamaguchi et al., Phys. Rev. B **58**, R 1699 (1998).
11. R. H. Potze, G. A. Sawatzky, and M. Abbate, Phys. Rev. B **51**, 11501 (1995).
12. H. Takahashi, F. Munakata, and M. Yamanaka, Phys. Rev. B **57**, 15211 (1998).
13. M. Zuang, W. Zhang, An Hu, and N. Ming, Phys. Rev. B **57**, 13655 (1998).
14. Z. Hu, H. Wu, M. W. Hawerkort et al., Phys. Rev. Lett. **92**, 207402 (2004).
15. M. A. Korotin, S. Yu. Ezhov, I. V. Solovyev et al., Phys. Rev. B **54**, 5309 (1996).
16. Е. С. Житлухина, К. В. Ламонова, С. М. Орел, Ю. Г. Пашкевич, ФНТ **31**, 1266 (2005).
17. T. Vogt, J. A. Hriljac, N. C. Hyatt, and P. Woodward, Phys. Rev. B **67**, 140401 (2003).
18. P. G. Radaelly and S. W. Cheong, Phys. Rev. B **66**, 094408 (2002).
19. X. Liu and C. T. Prewitt, J. Phys. Chem. Sol. **52**, 441 (1991).
20. S. G. Ovchinnikov, V. I. Anisimov, I. A. Nekrasov, and Z. V. Pchelkina, Phys. Met. Metallogr. **99**, Suppl. 1, 593 (2005).
21. А. Абрагам, Б. Блини, *Электронный парамагнитный резонанс переходных ионов*, Мир, Москва (1972).
22. Y. Kobayashi, Thant Sin Naing, M. Suzuki et al., Phys. Rev. B **72**, 174405 (2002).
23. Y. Kobayashi, N. Fujiwara, S. Murata et al., Phys. Rev. B **62**, 410 (2000).
24. S. Noguchi, S. Kawamata, K. Okuda et al., Phys. Rev. B **66**, 094404 (2000).